



# 3 Eficiencia con polígonos

Introducción

Técnicas de aceleración

Nivel de detalle

Hardware gráfico

# Introducción



- Representación poligonal
  - Los triángulos mejoran las prestaciones del Hw
  - Representación principal
    - Facilidad de creación de objetos poligonales: digitalizador 3D, escáner 3D, descripción matemática, barrido, conversión poligonal
    - Algoritmos de visualización realista (Hw). Algoritmos de sombreado por interpolación (Gouraud, Phong)
  - Problema fundamental (escalado de geometría)
    - Dibujar muchos polígonos en pocos píxeles (simuladores de vuelo, Realidad Virtual, Juegos por Ordenador)
    - Solución: representación jerárquica
    - Problema: animación y control de la jerarquía

# Introducción



- Eficiencia con polígonos

- Las tarjetas gráficas visualizan más tri/seg. De los que pueden enviarse por el bus

- Ej. 1 Millón de triángulos a 30Hz (36 bytes/tri) → 1080 MB/sec

- Ej. Geforce 6800 Ultra

- Memoria: 512 MB

- Ancho de banda de la memoria: 33.6 GB/sec.

- Frecuencia de relleno: 6.4 billones de texels/sec.

- Vértices por segundo: 600 Millones

- Texturas por píxel: 16

- Soluciones

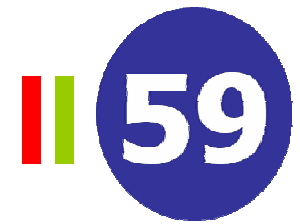
- Reducir la información por vértice

- Reducir el número de vértices

- Reducir el número de polígonos (LOD)



# Técnicas de aceleración



- **Compresión de geometría**
  - Información mínima por vértice (28 bytes sin compresión)
    - (x,y,z) coordenadas 3D (12 bytes)
    - (u,v) coordenadas de textura (8 bytes)
    - (u,v) coordenadas mapa de iluminación (8 bytes). Sin normales
  - Técnicas de compresión
    - Compartir mapas de texturas
    - Compresión estándar: duplas, incrementos, entropía
    - Reducir la exactitud
      - Ej. Motor de un coche (coordenadas 10bits -> exactitud 0.5 mm)
  - Problemas
    - Falta de exactitud en posición
    - Desplazamiento del color

# Técnicas de aceleración



- Codificar la conectividad
  - malla general
    - 10 bits por coordenada para un objeto de  $n$  vértices

Coste por vértice =  $30n$  bits

- Suponiendo que en una malla general  $t = 2v$  (Euler)

Coste de conectividad =  $6n \log_2 n$  bits

Coste Total =  $30n + 6n \log_2 n$  bits

- Rossingnac 1999

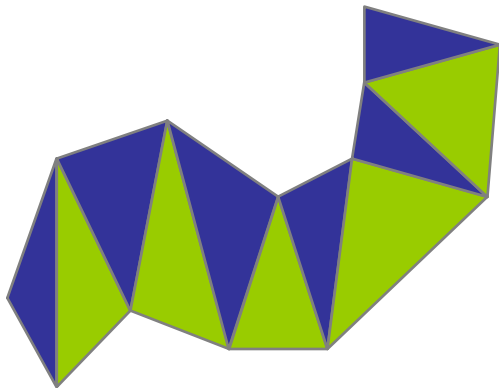
Coste por vértice =  $31n$  bits

Coste de conectividad =  $6n + 5n \log_2 n$  bits

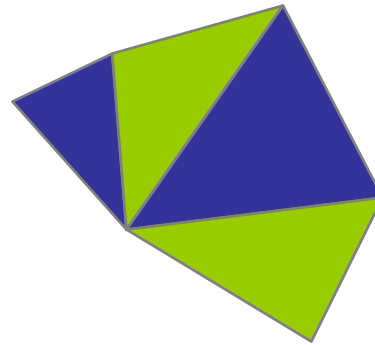
para objetos de más de 64 vértices

# Técnicas de aceleración

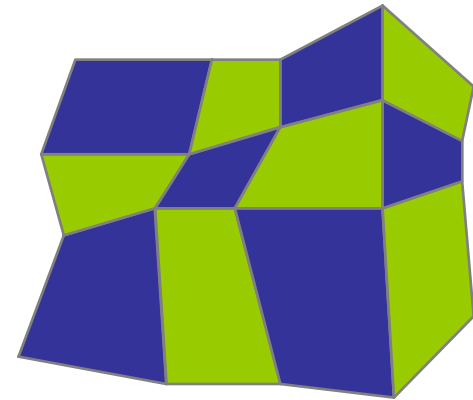
- Conectividad implícita
  - Cinta de triángulos (triangle strip)
    - para  $n$  vértices produce  $(n-2)$  triángulos conexos
  - Abanico de triángulos (triangle fan)
    - para  $n$  vértices produce  $(n-2)$  triángulos conexos
  - Malla de cuadriláteros (quadrilateral mesh)
    - para  $n$  por  $m$  vértices produce  $(n-1) \times (m-1)$  cuadriláteros



Tiras de triángulos



Abanico de triángulos

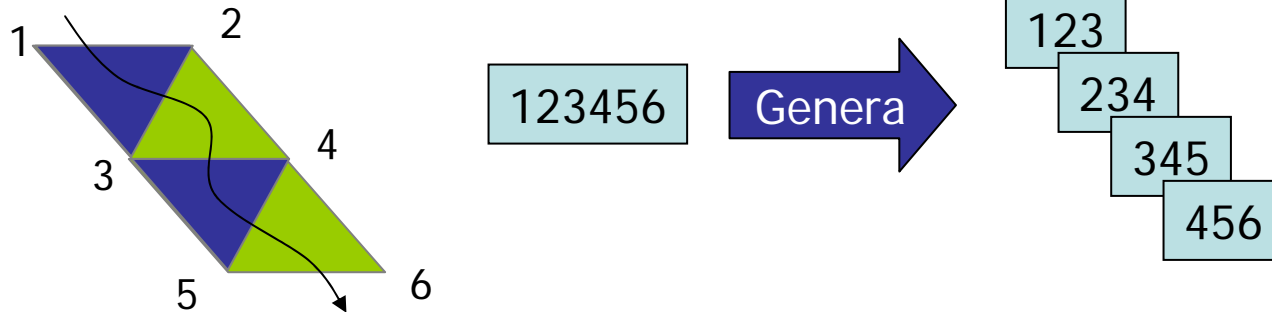


Malla de cuadriláteros  
(mallas de elevación)

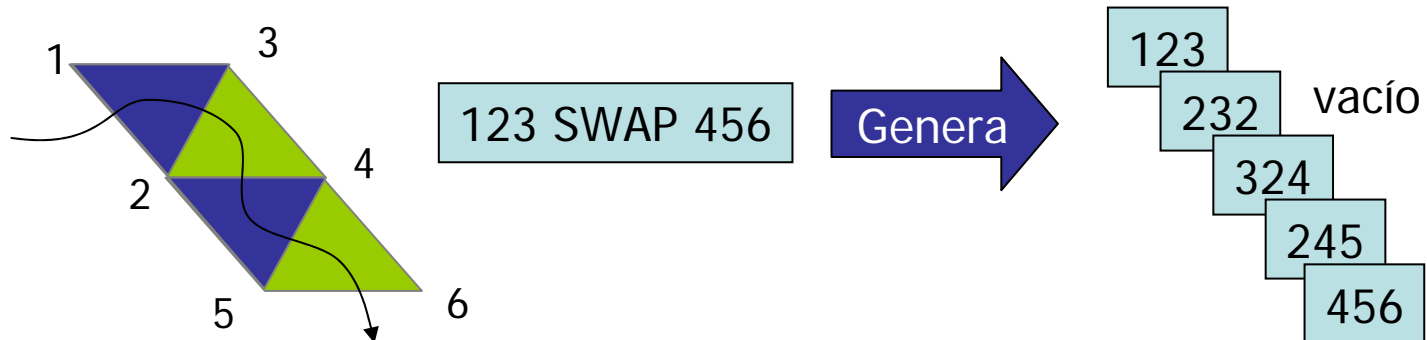
# Técnicas de aceleración

- Tiras de triángulos

- Sin swaps (OpenGL)



- Con swaps (GL). Tiras generalizadas



# Técnicas de aceleración



- Coste con cintas de triángulos
  - Reduce los vértices por cinta de  $3t$  a  $t+2$  (siendo  $t$  el número de triángulos)
  - Si  $t_n$  es el número de triángulos en la  $n$ -ésima tira, el número total de vértices a enviar al procesador para dibujar un objeto formado por  $s$  tiras es

Tira 1  $\rightarrow v_1 = t_1 + 2$   
Tira 2  $\rightarrow v_2 = t_2 + 2$   
.....  
Tira  $s \rightarrow v_s = t_s + 2$

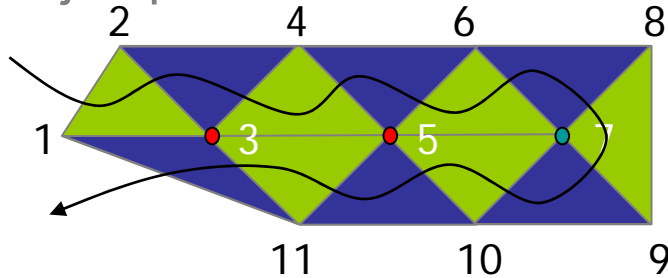
$$v = t + 2s$$

- Objetivo
  - Encontrar tiras largas (Algoritmos de stripificación)
  - Reducir el número de swaps
    - Coste swap (1 vértice frente a iniciar nueva tira 2 vértices)



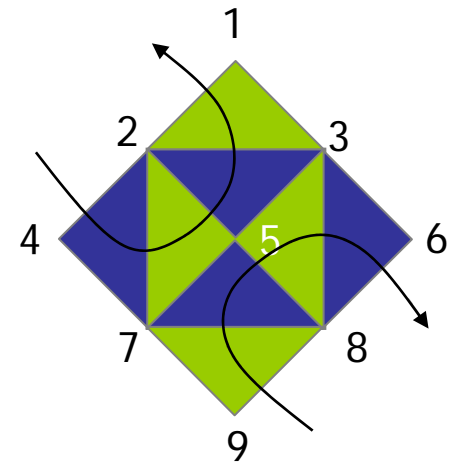
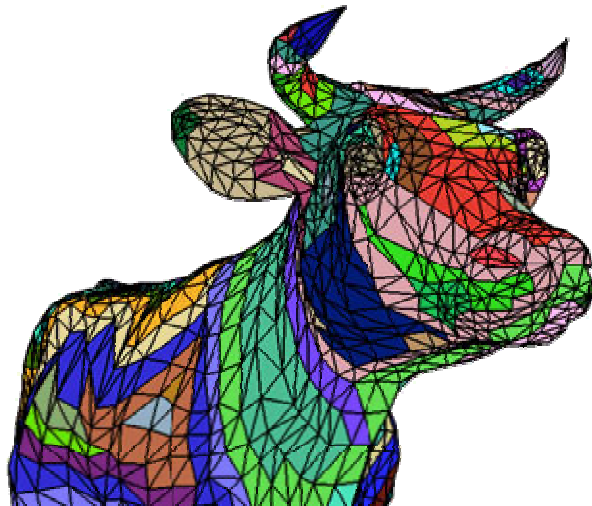
# Técnicas de aceleración

– Ejemplo



1 2 3 4 5 6 7 8 SWAP 9 SWAP 10 5 11 3 1

Malla representada con una única tira con vértices referenciados 2 veces

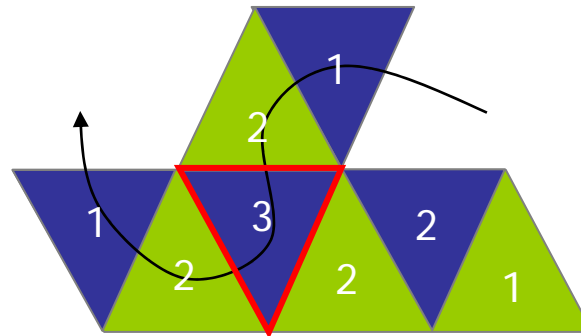


4 2 7 SWAP 5 SWAP 3 1  
9 7 8 SWAP 5 SWAP 3 6

Malla que necesita dos tiras para su representación

# Técnicas de aceleración

- Algoritmos de búsqueda de tiras
  - Locales
    - Las tiras se hacen crecer a través de los triángulos con el menor índice de adyacencia (número de triángulos vecinos que aún no pertenecen a ninguna tira) Akeley 1990 SGI



- Globales
  - Idea similar excepto que los modelos no están totalmente triangulados (<http://www.cs.sunysb.edu/~stripe>). Evans 1996.

- Buffer de vértices
  - Reutilización de vértices almacenados en el sistema gráfico
    - Deering (1995)
      - Pila de tamaño 16, permite el acceso aleatorio a cualquier vértice almacenado en la pila
    - Bar-Yehuda y Gotsman (1996)
      - Un tamaño de buffer de  $12.72 \sqrt{n}$  es suficiente para generar una secuencia mínima para cualquier malla de triángulos de  $n$  vértices con coste  $n$  (coste sin explotar el buffer más de  $2n$ )
      - La malla se convierte en una secuencia de comandos de pila
        - »  $\text{Push}(v)$  el vértice es enviado a la GPU y almacenado en la pila
        - »  $\text{Draw}(v1,v2,v3)$  dibuja un triángulo con los vértices de la pila
        - »  $\text{Pop}(k)$  elimina de la pila  $k$  vértices
    - Hughes Hoppe (1999)
      - Analiza la influencia del tamaño del buffer sobre reutilización de los vértices. Las tiras más largas no siempre son las más eficientes

# Técnicas de aceleración



- Teorema (Considerando una malla de triángulos como un grafo)
  - Un grafo  $G(V,E)$  puede dividirse en 3 conjuntos  $U$ ,  $S$  y  $W$  de forma que ningún arco en  $E$  conecte un vértice de  $U$  con uno de  $W$ .  $O(n)$

```
Dibuja_secuencia(M(V))
```

```
si  $|V| \neq$  entonces
```

```
  obtener  $U, S, W$ 
```

```
  salida("push("S")")
```

```
  push(pila, S)
```

```
para todo triangulo  $t$  de  $M$  con  
  un vértice en  $S$  y dos en la pila
```

```
  salida("draw("indice(v1(t)),  
            indice(v2(t)),  
            indice(v3(t))
```

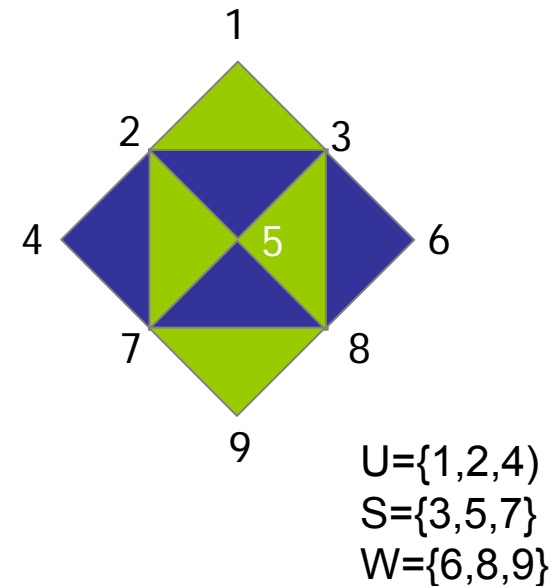
```
  Dibuja_secuencia(M(U))
```

```
  Dibuja_secuencia(M(W))
```

```
  salida("pop("|S|)")
```

```
  pop(pila, |S|)
```

```
Salida: push(3), push(5), push(7), push(2), draw(2,3,5), draw(2,5,7), push(1),  
draw(1,2,3), pop(1), push(4), draw(2,4,7), pop(2), push(8), draw(3,5,8),  
draw(5,8,7), push(6), draw(3,6,8), pop(6), push(9), draw(7,8,9)
```



9 vértices enviados frente a  
12 en el caso de tiras

# Nivel de detalle



- Modelado por nivel de detalle
  - Definición
    - Un modelo multirresolución es un modelo que almacena un amplio rango de aproximaciones de un objeto y que puede mostrar cualquiera de ellas en un momento dado
  - Ventajas
    - Permite adaptar automáticamente el nivel de detalle a los requerimientos HW (imágenes por segundo, ancho de banda, ...) y de aplicación (juegos, R.V., simulación, visualización científica, etc.)

“No tiene sentido utilizar 500 polígonos para describir un objeto que ocupa 20 píxeles....”

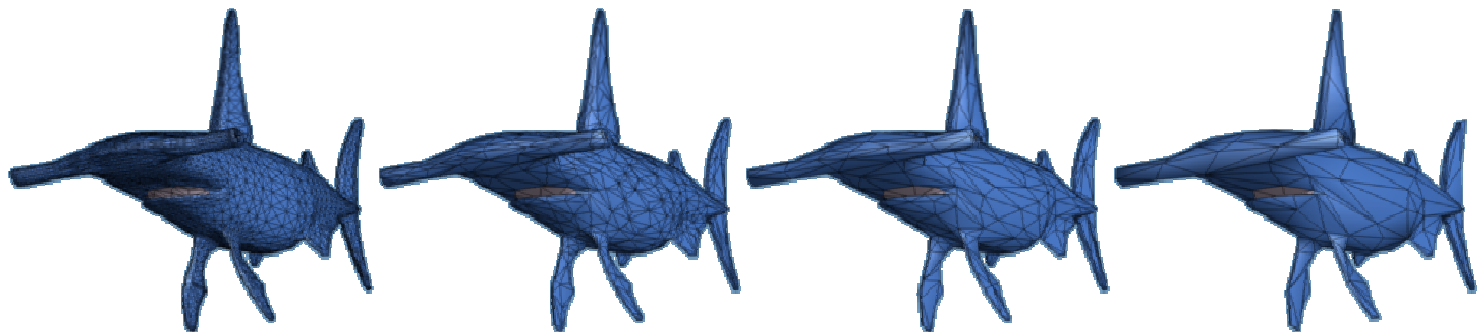
# Nivel de detalle

- Tipos

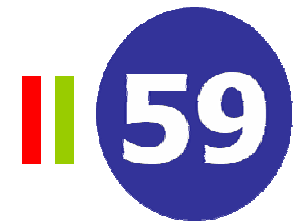
- Modelos discretos
  - Descripción de una secuencia de pocas mallas cada una de las cuales representa el objeto a diferente resolución
- Modelos continuos
  - Descripción de un conjunto virtualmente continuo de mallas representando el objeto con incremento de resolución

- Aplicaciones

- Visualización interactiva
- Transmisión progresiva
- Compresión de la malla
- Edición con resolución variable



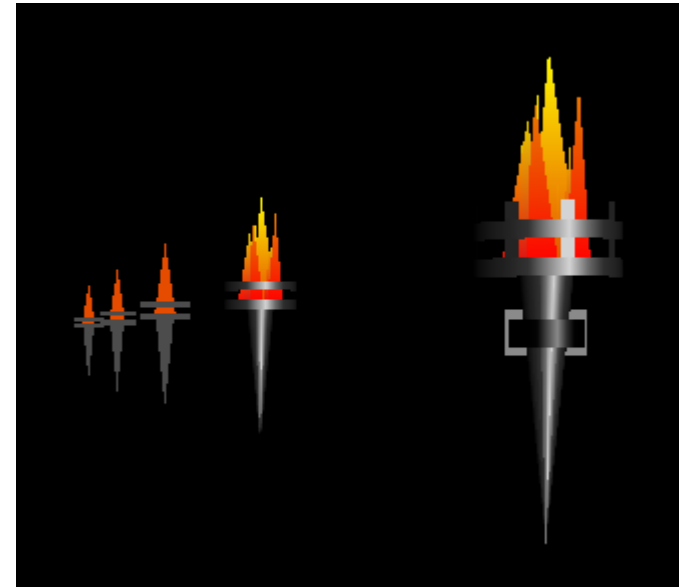
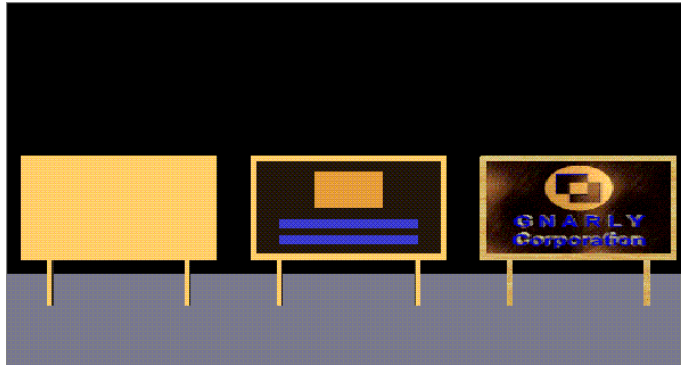
# Nivel de detalle



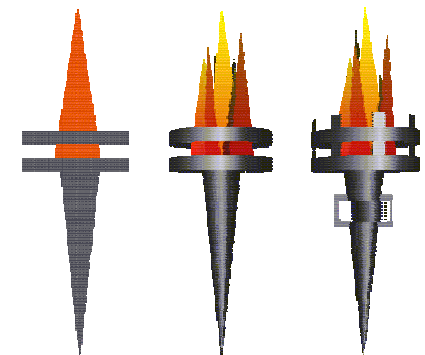
- Modelos discretos
  - Características
    - Cada malla puede obtenerse por simplificación
    - Cada malla se asocia con un rango de niveles de detalle
    - Número limitado de representaciones
    - Tecnología estándar en Vrml y OpenInventor
  - Desventajas
    - Cada malla se almacena independientemente
    - Dificultad de adaptar el nivel de detalle a la aplicación
    - Popping
    - Resolución uniforme
  - Soluciones
    - Morphing
    - Blending

# Nivel de detalle

- Ejemplo
  - VRML



```
#VRML V2.0 utf8
LOD {
  range [ 15, 25 ]
  level [
    Inline { url "torchhigh.wrl"},
    Inline { url "torchmed.wrl"},
    Inline { url "torchlow.wrl"}
  ]
}
```



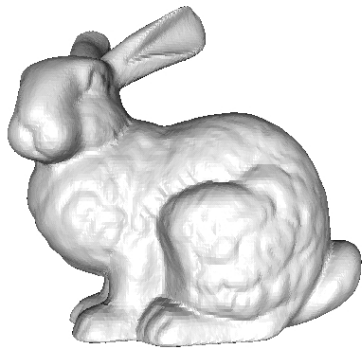


# Nivel de detalle

- Modelos continuos

- Características

- Eficiente extracción del LOD en tiempo real
    - Tamaño adecuado (entre 2 y 3 veces el modelo original)
    - Mallas continuas
    - Transición suave entre niveles



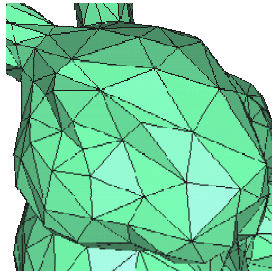
Modelo original 1.222 Mb  
Progressive Meshes 3.065 Mb



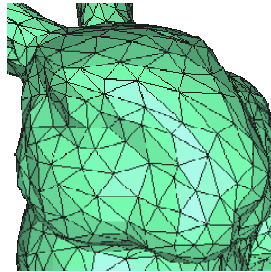
Modelo original 2.918 Mb  
Progressive Meshes 7.316 Mb

# Nivel de detalle

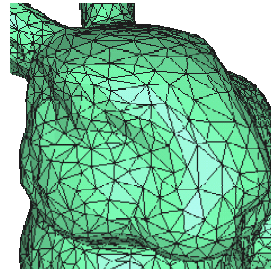
- Tipos
  - Dominio uniforme



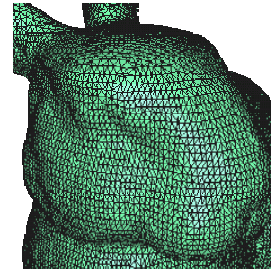
2000 Caras



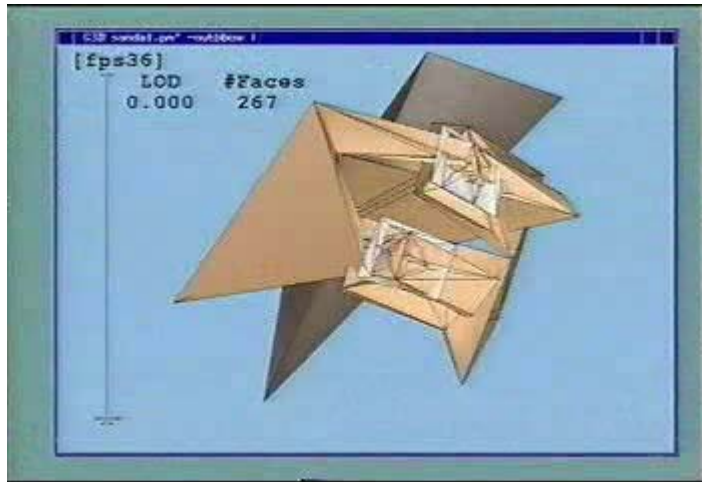
5000 Caras



10000 Caras

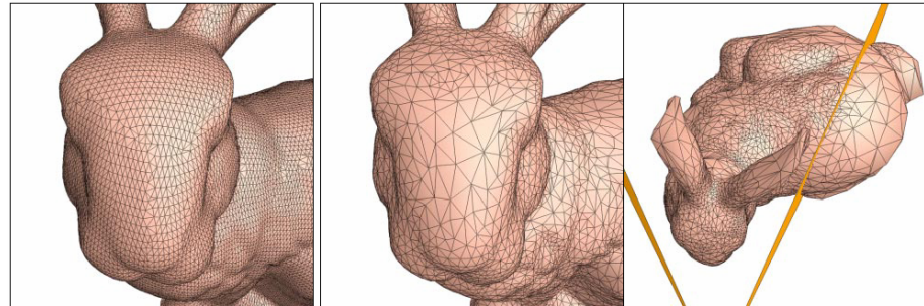


69451 Caras



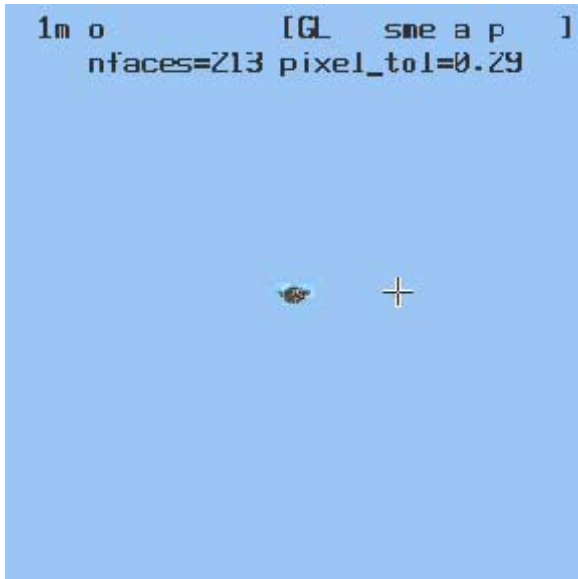
# Nivel de detalle

- Dominio variable
  - Criterios de refinamiento (volumen de la vista, orientación, silueta, error en la imagen, etc.)



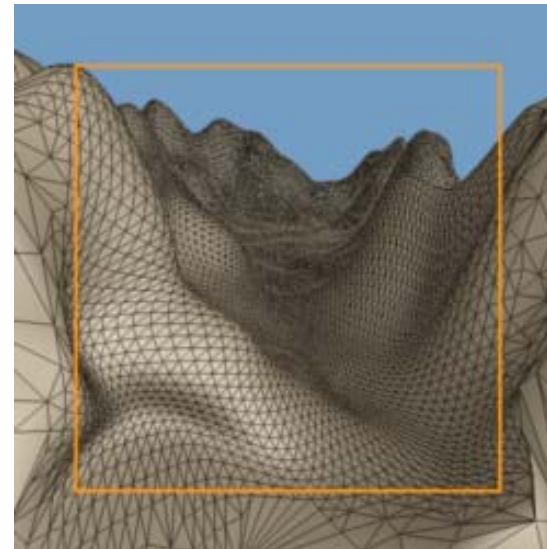
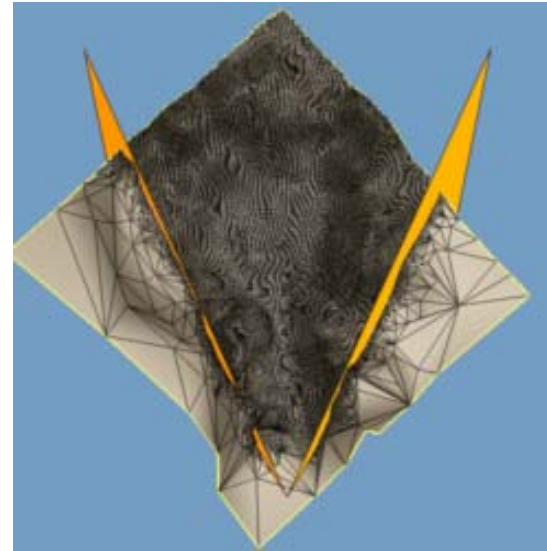
Original 69.473 caras

Vista frontal y superior 10.528 caras



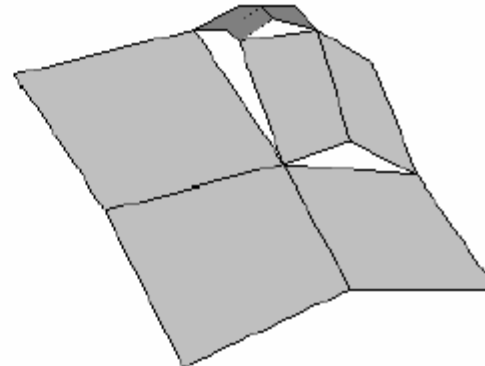
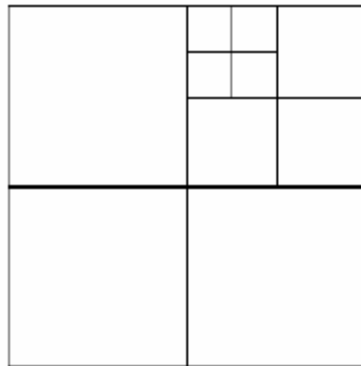
# Nivel de detalle

- Clasificación
  - Modelos basados en árboles
    - Basados en la subdivisión anidada de la superficie
    - Cada celda en la subdivisión se refina de forma independiente
  - Modelos de evolución
    - Basados en realización de modificaciones locales (refinamiento o simplificación)
    - Pueden obtenerse diferentes mallas combinando distintos grupos de modificaciones



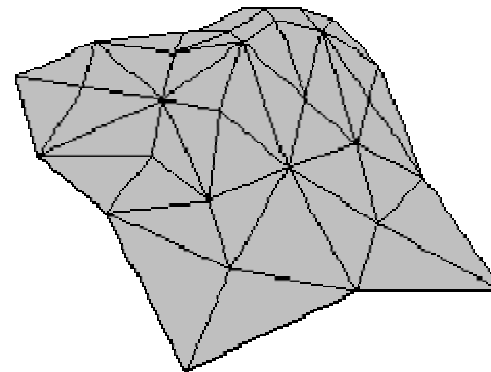
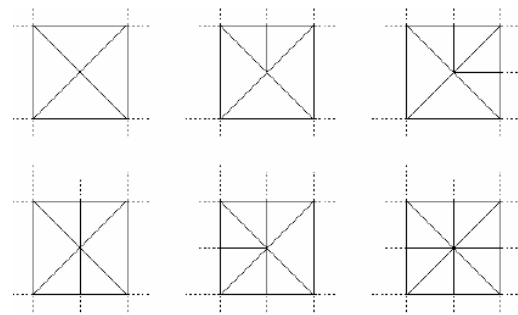
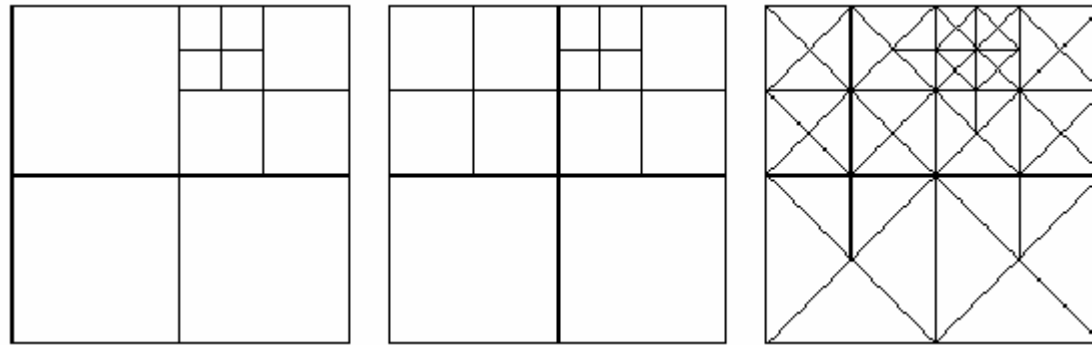
# Nivel de detalle

- Modelos basados en árboles
  - Quadrees
    - Subdivisión recursiva en cuadrantes
    - Una malla formada por cuadrantes de diferentes niveles puede tener agujeros
    - Los octrees son la extensión para manejar información volumétrica



# Nivel de detalle

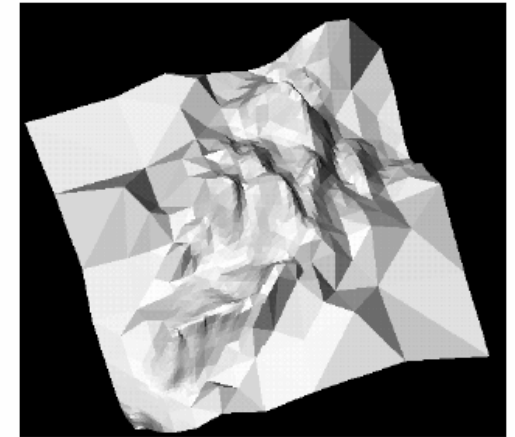
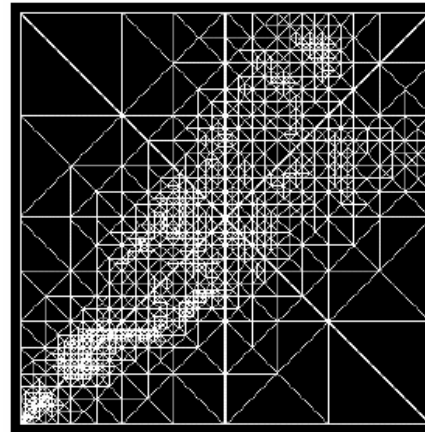
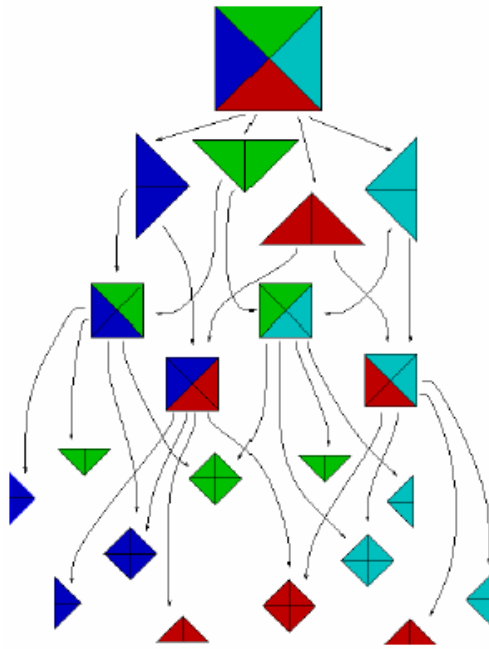
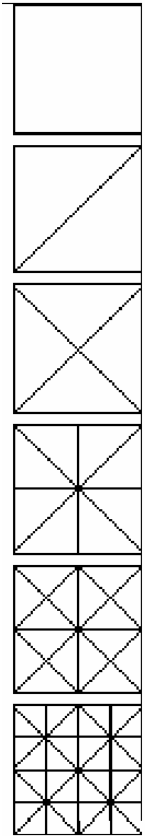
- Quadrees restringidos
  - Evitan los agujeros
  - Cada cuadrante puede dividirse de diferentes formas



# Nivel de detalle

- Bintreees

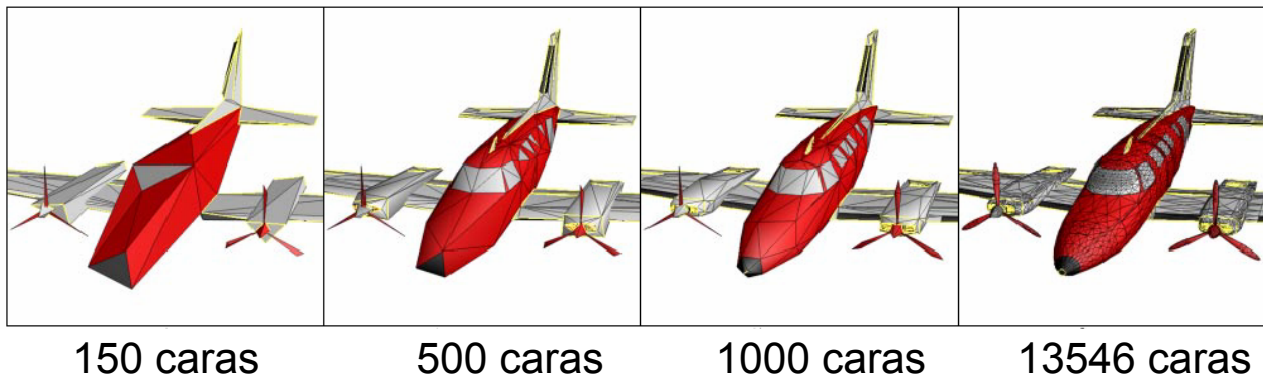
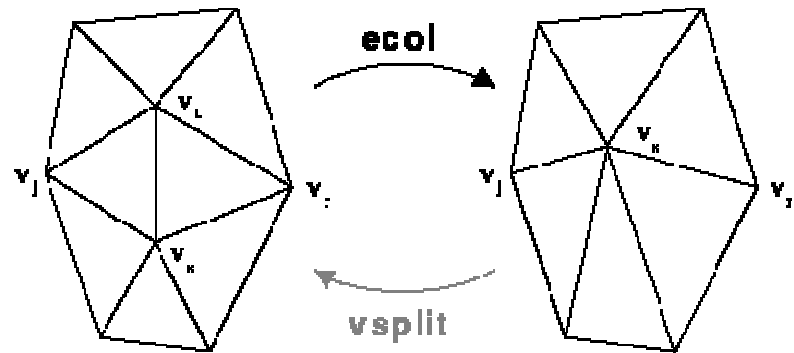
- Se divide el dominio cuadrado por la diagonal
- Cada triángulo se divide recursivamente en dos por su arista mayor
- La jerarquía se describe en un árbol binario



Refinamiento selectivo con el volumen de la vista e incremento de error con la distancia

# Nivel de detalle

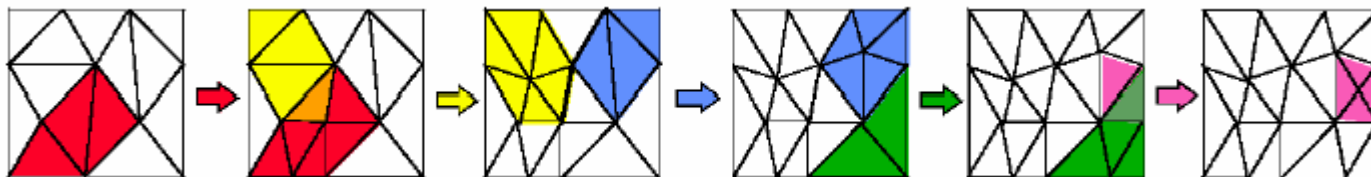
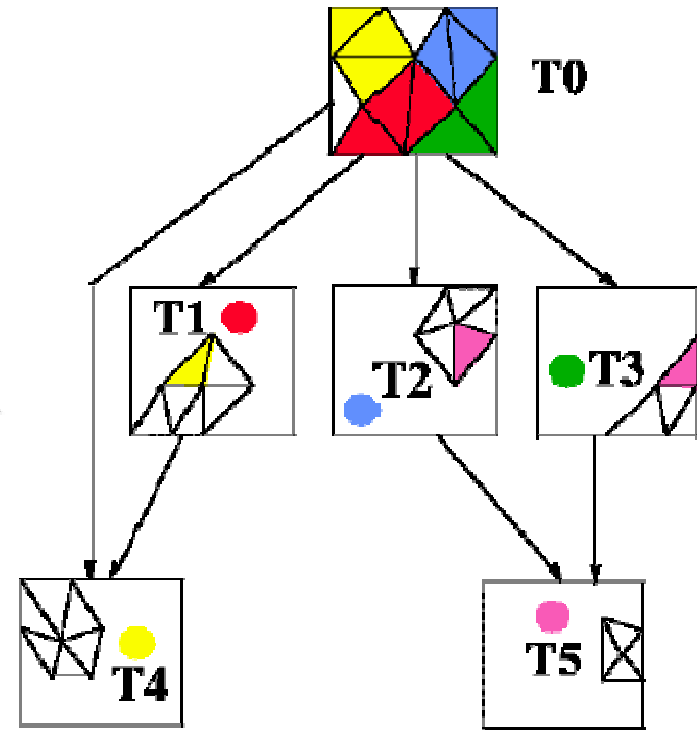
- Modelos de evolución
  - Secuencias progresivas (Progressive Meshes)
    - $M_0 + vSplit_0 + \dots + vSplit_i + \dots + vSplit_{n-1}$
    - El proceso es invertible
    - Resolución uniforme





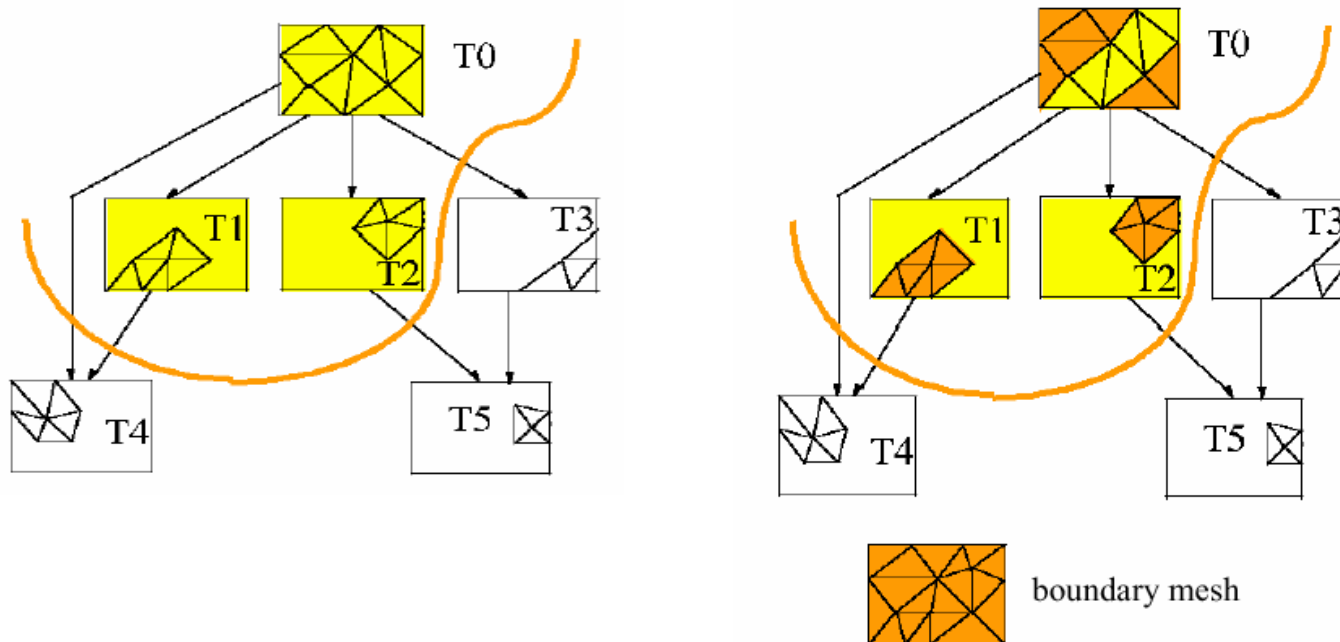
# Nivel de detalle

- Un esquema general (la multitriangulación MT)
  - Malla inicial +
  - Colección de modificaciones locales en orden formando un grafo acíclico dirigido (DAG)
  - Los nodos son mallas de triángulos
  - Los arcos describen el orden
  - Unas modificaciones son dependientes, otras independientes



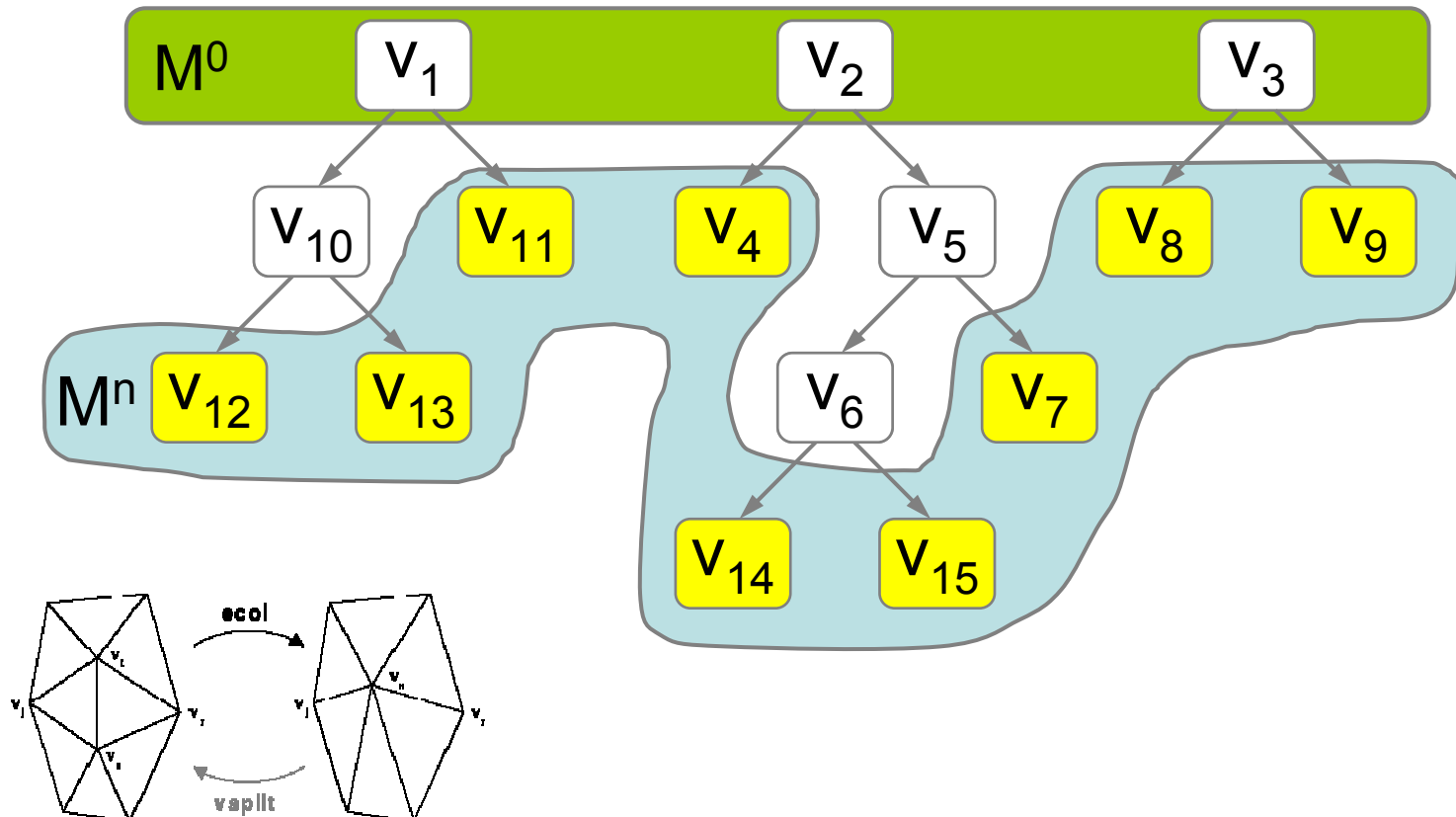
# Nivel de detalle

- Una subMT de una MT  $M$  es un subgrafo  $M'$  donde:
  - $M'$  contiene la raíz
  - Si  $T_i$  pertenece a  $M'$ , entonces todos los padres de  $T_i$  también pertenecen a  $M'$
- Cualquier malla construida con triángulos de  $M'$  es una malla válida (si tenemos  $M$  entonces tenemos la malla al máximo detalle)

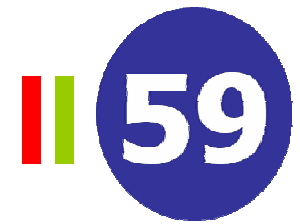


# Nivel de detalle

- Jerarquía de vértices (VDPM)
  - Extensión de PM que permite resolución variable
  - Restringido a la utilización de un método de simplificación por eliminación de aristas

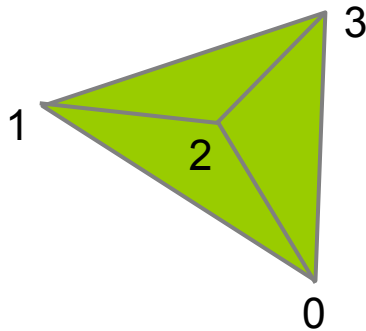


# Hardware gráfico



- Vectores de vértices e índices
  - OpenGL (vertex arrays), DirectX (vertex buffers)
  - Almacenan toda la información del modelo en segmentos continuos de memoria
  - Los datos no se copian de la aplicación al *driver*, se almacenan en *buffers*. El *driver* accede a ellos a través de punteros.
  - Se utilizan menos llamadas al API (esto es menos importante con las GPUs actuales). En cada llamada se envían más datos
  - Clasificación
    - Si residen en memoria principal o en la memoria de vídeo
    - Si son sólo de escritura o de lectura/escritura
    - Si se mantienen diferentes vectores (vértices, normales, texturas, ...) o si se usa un único vector con todos los datos (interleaved)

# Hardware gráfico



```
begin n0 p0 n1 p1 n2 p2 end  
begin n1 p1 n3 p3 n2 p2 end  
begin n2 p2 n3 p3 n0 p0 end
```

Las *strips* suelen ser la forma más eficientes de representar mallas. Si el objeto esta formado por varias *strips* se suelen unir con triángulos degenerados

## Triángulos separados

p <sub>0</sub> p <sub>1</sub> p <sub>2</sub> p <sub>1</sub> p <sub>3</sub> p <sub>2</sub> p <sub>2</sub> p <sub>3</sub> p <sub>0</sub>	posiciones
n <sub>0</sub> n <sub>1</sub> n <sub>2</sub> n <sub>1</sub> n <sub>3</sub> n <sub>2</sub> n <sub>2</sub> n <sub>3</sub> n <sub>0</sub>	normales

## Strip

p <sub>0</sub> p <sub>1</sub> p <sub>2</sub> p <sub>3</sub> p <sub>0</sub>	posiciones
n <sub>0</sub> n <sub>1</sub> n <sub>2</sub> n <sub>3</sub> n <sub>0</sub>	normales

## Strip interleaved

p <sub>0</sub> n <sub>0</sub> p <sub>1</sub> n <sub>1</sub> p <sub>2</sub> n <sub>2</sub> p <sub>3</sub> n <sub>3</sub> p <sub>0</sub> n <sub>0</sub>	vértices
---	----------

## Triángulos indexados

p <sub>0</sub> n <sub>0</sub> p <sub>1</sub> n <sub>1</sub> p <sub>2</sub> n <sub>2</sub> p <sub>3</sub> n <sub>3</sub>	vértices
0 1 2 1 3 2 2 3 0	índices

## Strip indexada

p <sub>0</sub> n <sub>0</sub> p <sub>1</sub> n <sub>1</sub> p <sub>2</sub> n <sub>2</sub> p <sub>3</sub> n <sub>3</sub>	vértices
0 1 2 3 0	índices